

УДК 621.315.592

**КВАНТОВО-РАЗМЕРНЫЕ AlGaAs/GaAs-ГЕТЕРОСТРУКТУРЫ  
СО 100 %-М КВАНТОВЫМ ВЫХОДОМ  
ИЗЛУЧАТЕЛЬНОЙ РЕКОМБИНАЦИИ, ПОЛУЧЕННЫЕ МЕТОДОМ  
МОЛЕКУЛЯРНО-ПУЧКОВОЙ ЭПИТАКСИИ**

Алфёров Ж. И., Гарбузов Д. З., [Денисов А. Г.],  
Евтихиев В. П., Комиссаров А. Б., Сеничкин А. П.,  
Скороходов В. Н., Токранов В. Е.

Приведены результаты фотолюминесцентных исследований квантово-размерных AlGaAs/GaAs-гетероструктур, полученных методом молекулярно-пучковой эпитаксии. Установлено, что в структурах с толщиной активной области более 100 Å при  $T=300$  К внутренний квантовый выход излучательной рекомбинации приближается к 100 %, а при уменьшении толщины активной области до 50 Å внутренний квантовый выход падает до 40 % из-за термического выброса носителей и последующей безызлучательной рекомбинации в волноводных слоях. При оптической накачке структуры с толщиной активной области 200 Å импульсным лазером ( $\lambda=0.58$  мкм) верхний предел пороговой плотности излучения был эквивалентен плотности тока 250 A/cm<sup>2</sup>.

Наиболее прямым способом определения внутренней эффективности излучательных переходов ( $\eta_i$ ) в полупроводниковых структурах является измерение внешней эффективности фотолюминесценции ( $\eta_e$ ) при выводе излучения в направлении, перпендикулярном плоскости структуры. Соответствующая методика была применена нами сначала для двойных AlGaAs/GaAs-гетероструктур (ДГС) с толщиной активной области  $L_z=0.1\text{--}1$  мкм [1], а затем для ДГС InGaAsP/GaAs и InGaAsP/InP, у которых  $L_z$  варьировалась в широком интервале — от 0.005 до 0.2 мкм [2, 3], включающем квантово-размерный диапазон  $L_z$  ( $L_z < 0.03$  мкм). Как исследованные ранее AlGaAs/GaAs-гетероструктуры, так и структуры в системе In—Ga—As—P были изготовлены методом жидкофазной эпитаксии. Основным результатом проведенных в [1—3] исследований явилось установление того факта, что для всех этих структур (за исключением In—Ga—As—P-гетероструктур с наименее тонкими активными областями  $L_z < 0.01$  мкм) внутренний квантовый выход излучательной рекомбинации был очень высоким и превышал 70 % в диапазоне температур 77—300 К.

В данном сообщении рассматриваются первые результаты, полученные при измерении  $\eta$  для одиночных квантовых AlGaAs/GaAs-яр, полученных методом молекулярно-пучковой эпитаксии. Исследованные структуры были изготовлены в ФТИ им. А. Ф. Иоффе АН СССР на выпускаемом отечественной промышленностью магистрально-модульном комплексе УЭ.ПМ-12.5-002. В качестве источников молекулярных потоков в установке использованы испарительные ячейки с резистивным нагревом. Тигли молекулярных источников изготовлены из отечественного кварца и пиронитрида бора. Шихтовыми материалами служили Ga(000), Al(000), As(000), Si(000), прошедшие специальную очистку. Давление остаточных газов в использованной установке при ростовых режимах не превышало  $2 \cdot 10^{-8}$  Па. Температура подложки составляла  $\sim 710$  °C. Рост слоев осуществлялся как на полуизолирующих подложках GaAs (АГПЧХ), так и на  $n$ -GaAs с  $N_d \simeq 10^{18}$  см<sup>-3</sup> [4].

Основные результаты были получены на изотипных  $N-n-N$ -структурах с раздельным ограничением, широкозонные слои которых были легированы Si.

На рис. 1 приведена зонная диаграмма исследованных структур и показаны толщины слоев, входящих в их состав. Как видно из рис. 1, исследованные структуры по распределению содержания Al аналогичны лазерным структурам раздельного ограничения. Оба широкозонных эмиттера в этих структурах и части прилегающих к ним «волноводных» слоев были легированы Si до уровня, обеспечивающего, по нашим оценкам, концентрацию свободных электронов  $\sim 3 \cdot 10^{17} \text{ см}^{-3}$ .<sup>1</sup> Временные режимы при росте волноводных слоев выбирались таким образом, что протяженности нелегированных частей, выполнявших роль спайсеров, должны были составлять  $\sim 1000 \text{ \AA}$ . Штриховые прямые на рис. 1 соответствуют моментам открытия потока от Si-источника.

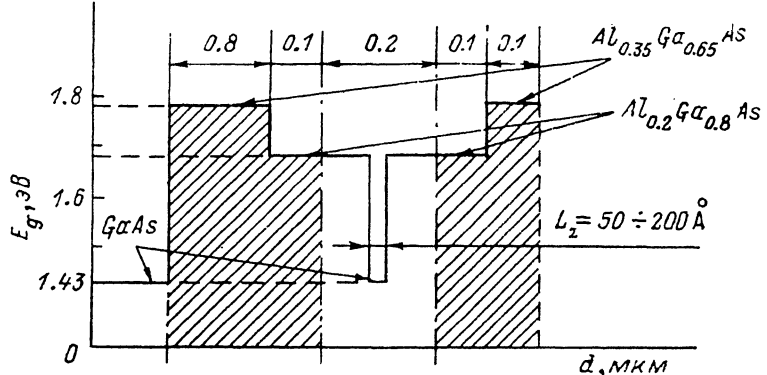


Рис. 1. Зонная диаграмма исследованных структур.

Заштрихованные области соответствуют областям структуры, при росте которых заслонка от Si-источника была открыта.

Далее приводятся данные, относящиеся к трем легированным структурам А-24, А-25, А-26, толщины активных областей в которых составляли соответственно 200, 120 и 50  $\text{\AA}$  (см. таблицу). Для исследования спектров люминесценции и определения эффективности излучательных переходов в качестве возбуждающего излучения использовалась линия  $\lambda = 0.68 \text{ мкм}$  непрерывного Kr<sup>+</sup>-лазера. Для проведения экспериментов при высоких уровнях оптической наакачки был использован импульсный лазер на парах меди ( $\lambda = 0.58 \text{ мкм}$ ).

#### Исследованные структуры AlGaAs, GaAs и их основные характеристики

| Структура | $L_z, \text{\AA}$ | Доля поглощенного возбуждающего излучения, % | Структура без подложки, $\eta_e \text{ max.} \%,$ | Структура с подложкой     |              |
|-----------|-------------------|--|---|---------------------------|--------------|
|           |                   |  |   | $\eta_e \text{ max.} \%,$ | $\eta_i, \%$ |
| А-24      | 200               | 47   | 14  | 1.50                      | 100          |
| А-25      | 120               | 42   | 14  | 1.50                      | 100          |
| А-26      | 50                | 46   | 2   | 0.55                      | 37           |

Остановимся сначала кратко на форме спектров люминесценции изучавшихся гетероструктур. На рис. 2 приведены спектры люминесценции, записанные при низком уровне возбуждения для трех упоминавшихся выше структур при 300 и 77 K и отмечены типы переходов, участвующих в формировании этих спектров. Из сопоставления со спектрами аналогичных нелегированных структур видно (рис. 2, а, кривая 4), что уширение полос люминесценции в большей степени связано с эффектами, обусловленными легированием Si, чем с флуктуациями толщин квантовых ям.

<sup>1</sup> Измерения в специально изготовленной структуре с аналогичным режимом модуляционного легирования дали значение электронной подвижности в GaAs  $4 \cdot 10^5 \text{ см}^2/\text{В}\cdot\text{с}$  при  $T = 4.2 \text{ K}$ .

Сравнение записанных при 77 К спектров для ям с  $L_z=200$  и 120 Å и спектра наиболее узкой ямы показывает, что в уширение спектров широких ям существенный вклад вносят переходы с участием подзоны легких дырок. Более детальный анализ спектров, результаты которого будут опубликованы позднее, позволяет заключить, что плотность электронов в рассматриваемых ямах находится в пределах  $(1 \div 3) \cdot 10^{11}$  см $^{-2}$ .

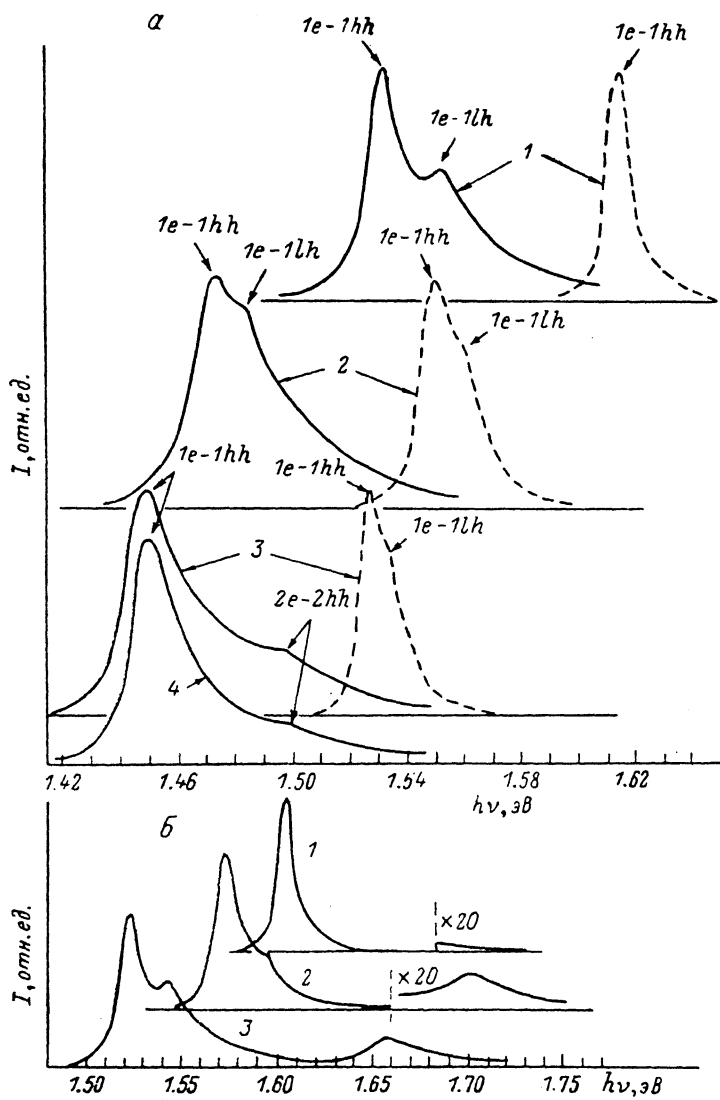


Рис. 2. Спектры люминесценции, записанные при выводе излучения перпендикулярно плоскости гетероструктуры (а), и спектры фотолюминесценции (б) при различных температурах. а) легированные образцы: 1 — A-26, 2 — A-25, 3 — A-24; 4 — нелегированный образец A-28 ( $L_z=200$  Å); б) T, K: сплошные кривые — 300, штриховые — 77; б) 1 —  $\sim 77$ , 2 —  $\sim 180$ , 3 —  $\sim 300$  (образец A-26). Уровень оптического возбуждения эквивалентен  $2 \div 3$  Å $/cm^2$ .

Перейдем теперь к рассмотрению методик и результатов исследования эффективности люминесценции. Первым этапом этих исследований было изготовление из трех рассматриваемых структур образцов, в которых GaAs-подложка удалялась с помощью селективного травителя [1]. Изготовление образцов без подложек позволило определить долю возбуждающего излучения, поглощающуюся в волноводных слоях структуры, и при использовании Si-фотодиода большой площади и постановке между исследуемой структурой и фотоприемником фильтра, отсекающего непоглощенную часть возбуждающего излучения [1],

определить абсолютную величину внешней эффективности люминесценции квантовых ям.

Как видно из таблицы, доля поглощенного возбуждающего излучения для исследованных структур находится в пределах от 42 до 47 %. Результаты измерений внешней эффективности люминесценции безподложечных образцов сводятся к следующему: 1) при плотностях  $I \geq 20 \text{ A/cm}^2$   $\eta_e$  в них достигают стационарных значений и перестают возрастать при дальнейшем увеличении уровня возбуждения; 2) для структуры с наиболее тонкой активной областью стационарное  $\eta_e$  составляет 2 %, а для структур с более толстыми активными областями  $\eta_e$  превышают 10 %, т. е. имеют почти такие же высокие значения, как и в случае AlGaAs/GaAs-гетероструктур с трехмерными активными областями [1], при люминесценции которых существенную роль играют процессы вторичного переизлучения; 3) в отличие от структур с толстыми активными областями длина эффективного поглощения для излучения краевой полосы в рассматриваемых квантово-размерных структурах составляет сотни микрометров, в связи с чем размеры области генерации люминесцен-

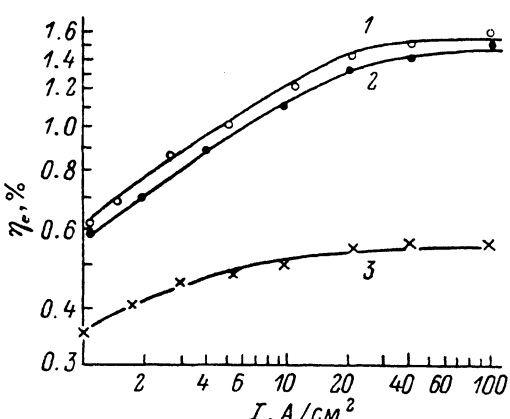


Рис. 3. Зависимости абсолютных значений  $\eta_e$  от плотности оптического возбуждения для образцов с подложкой.

Образцы: 1 — А-24, 2 — А-25, 3 — А-26.

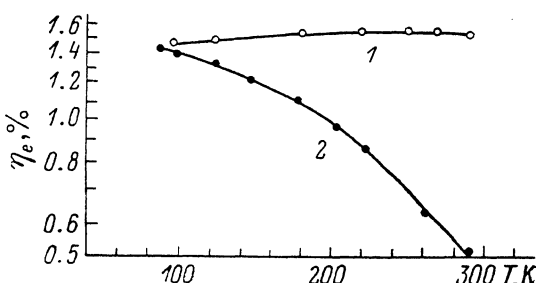


Рис. 4. Зависимости абсолютных значений  $\eta_e$  от температуры для образцов с подложкой. Уровень оптического возбуждения эквивалентен  $\sim 20 \text{ A}/\text{cm}^2$ . Образцы: 1 — А-24, 2 — А-26.

ции могут существенно превосходить размеры области первичного фотовозбуждения, равной диаметру лазерного пучка (в наших экспериментах  $D \approx 50 \text{ мкм}$ ). При постановке диафрагмы, ограничивающей размеры области, с которой выводится излучение, до размеров лазерного пучка величина  $\eta_e$  приближается к  $1.5 \div 2 \%$ .

При распространении фотонов собственной люминесценции на большие расстояния в плоскости структуры потери, связанные с поглощением на свободных носителях, могут конкурировать с «полезным» межзонным поглощением в квантовой яме. Это обстоятельство затрудняет расчеты внутренней эффективности излучательных переходов для образцов с удаленной подложкой, и поэтому для количественной оценки внутренней эффективности излучательных переходов были проведены измерения  $\eta_e$  для образцов, у которых подложка не справлялась. При выполнении этих измерений возбуждение и регистрация люминесценции осуществлялись в обычной геометрии «на отражение», а интегральный поток люминесцентного излучения собирался на Si-фотодиод специальным объективом. Перед исследованиями образца с подложкой установка калибровалась путем определения величины сигнала от образца этой же структуры с удаленной подложкой, для которого величина  $\eta_e$  была предварительно определена в геометрии на просвет. На рис. 3 приведены полученные таким образом зависимости абсолютных значений  $\eta_e$  от плотности оптического возбуждения для образцов

\* Для удобства плотности оптического возбуждения здесь и в дальнейшем будут выражены в единицах эквивалентной плотности тока.

с подложкой, изготовленных из трех рассматриваемых структур с различной шириной квантовой ямы. Для структур с  $L_z = 200$  и  $120 \text{ \AA}$  ход зависимостей  $\eta_e = f(I)$  практически совпадает, и при  $I \geq 20 \text{ A/cm}^2$   $\eta_e$  достигают стационарного значения порядка 1.5 %. Для структуры с  $L_z = 50 \text{ \AA}$  увеличение  $\eta_e$  с ростом  $I$  происходит более медленно, и максимальные значения  $\eta_e$  в 3 раза меньше, чем у структур с более широкой ямой. Значения  $\eta_e = 1.5 \%$ , полученные для структур с  $L_z = 200$  и  $120 \text{ \AA}$ , с хорошей степенью точности соответствуют 100 %-му внутреннему квантовому выходу люминесценции в квантовых ямах [1].<sup>3</sup>

Данный вывод хорошо подтверждается результатами исследований зависимости эффективности люминесценции от температуры, показанными на рис. 4. Как видно из этого рисунка, при увеличении температуры от 77 до 300 К спад  $\eta_e$  для структуры с  $L_z = 200 \text{ \AA}$  не превышает 5 %. В случае структуры с  $L_z = 50 \text{ \AA}$  эффективность люминесценции при 77 К столь же высока, как и для структур с более широкими ямами, однако при повышении температуры в этом случае имеет место заметный спад эффективности люминесценции квантовой ямы. Температурные исследования характера спектров фотolumинесценции обнаруживают при повышении температуры до  $T > 180 \text{ K}$  относительное усиление коротковолновой полосы излучения, связанной с рекомбинацией в волноводных слоях (рис. 2, б, кривая 2). Соотношение интенсивности сравниваемых полос излучения не может быть использовано для прямой оценки доли неравновесных носителей, рекомбинирующих в волноводных слоях, поскольку величина  $\eta_i$  в  $\text{Al}_{0.2}\text{Ga}_{0.8}\text{As}$ , по нашим оценкам, по крайней мере на порядок меньше, чем в квантовой яме. Таким образом, мы полагаем, что термический выброс неравновесных носителей и последующая безызлучательная рекомбинация в волноводных слоях, по-видимому, являются основными причинами отличия  $\eta_i$  от 100 % при 300 К в структуре с  $L_z = 50 \text{ \AA}$ . Усиление утечек носителей в широкозонные слои в случае узкой ямы связано прежде всего с уменьшением эффективной высоты барьеров на границах такой ямы.

Таким образом, очевидно, что в случае узких ям с размерами менее  $100 \text{ \AA}$  необходимым условием для достижения значений  $\eta_i$ , приближающихся к 100 % при 300 К, является повышение содержания AlAs в широкозонных слоях. Что же касается квантовых ям с  $L_z \geq 120 \text{ \AA}$ , то из совокупности полученных в этой работе данных (абсолютные значения  $\eta_e$  в образцах без подложки и с подложкой, сильное влияние эффектов переизлучения в бесподложечных образцах, характер температурной зависимости эффективности люминесценции) следует, что электронно-дырочные пары, создаваемые в волноводных слоях соответствующих структур, преобразуются в фотоны собственного излучения ямы с эффективностью, близкой к 100 %. Этот факт, во-первых, свидетельствует о том, что качество  $\text{Al}_{0.2}\text{Ga}_{0.8}\text{As}$ , служащего материалом волноводных слоев, достаточно высоко, чтобы обеспечить полный сбор электронно-дырочных пар в ямы; во-вторых, это означает, что скорость излучательных переходов между подзонами размерного квантования в ямах по крайней мере на порядок выше, чем суммарная скорость безызлучательной рекомбинации в материале ямы и на ее интерфейсах. Результаты измерений времен жизни неравновесных носителей в данных структурах будут приведены в последующей публикации.

Высокий внутренний квантовый выход излучательной рекомбинации должен обеспечивать низкие пороги генерации в исследованных структурах с  $L_z \geq 100 \text{ \AA}$ . Для определения порога генерации при оптическом возбуждении была использована линия  $\lambda = 0.58 \text{ мкм}$  импульсного лазера на парах меди ( $\tau = 10 \text{ нс}$ ). Лазерные образцы, выколотые из структуры А-24 ( $L_z = 200 \text{ \AA}$ ), имели длину резонатора  $\sim 1 \text{ мм}$ . Оптическая система создавала на поверхности образца освещенную полоску шириной  $100 \text{ мкм}$ . Пороговая плотность излучения, согласно нашим оценкам, при 300 К оказалась эквивалентной плотности тока  $250 \text{ A/cm}^2$ . В отличие от возбуждения  $\text{Kr}^{+}$ -лазером часть фотонов линии  $\lambda = 0.58 \text{ мкм}$  поглощается в  $\text{Al}_{0.35}\text{Ga}_{0.65}\text{As}$ -эмиттере. По нашим оценкам, это

<sup>3</sup> По нашим оценкам, ошибки при определении  $\eta_e$ ,  $\eta_i$  описанным выше методом не превышают 20 %.

приводит к снижению эффективного уровня возбуждения и завышению приведенных выше значений  $I_n$  в 1.5—2 раза по сравнению с истинными.

В заключение авторы благодарят В. П. Чалого и А. Л. Тер-Мартиросяна за полезные обсуждения и консультации при изготовлении образцов, а также П. С. Копьева и Б. М. Мельцера за ценные консультации и помощь при выборе режимов роста исследованных структур, М. Ю. Надточего и В. М. Устинова за измерения электронной подвижности.

#### Л и т е р а т у р а

- [1] Алфёров Ж. И., Агафонов В. Г., Гарбузов Д. З., Давидюк Н. Ю., Ларионов В. Р., Халвин В. Б. — ФТП, 1976, т. 10, в. 8, с. 1497—1506.
- [2] Антонишикис Н. Ю., Арсентьев И. Н., Гарбузов Д. З., Евтихиев В. П., Красовский В. В., Свелокузов А. Е., Чудинов А. В. — ФТП, 1986, т. 20, в. 4, с. 708—712.
- [3] Alferov Zh. I., Garbuzov D. Z. — ICPS, 18. Stockholm, Sweden, Aug., 11—15, 1986, v. 1, p. 203—210.
- [4] Kudo K., Makita Y. et al. — J. Appl. Phys., 1986, v. 59, N 3, p. 888—891.

Физико-технический институт  
им. А. Ф. Иоффе АН СССР  
Ленинград

Получена 25.04.1988  
Принята к печати 7.05.1988